



دانشگاه علوم پایه

ارائه شده جهت اخذ درجهٔ دکتری در رشتهٔ شیمی معدنی

عنوان

سنتز، شناسایی طیفی و بررسی ساختاری ترکیبات جدید فسفریک تری آمید با فرمول $(C_6H_4C(O)NH)P(O)(NR^1R^2)_2$ و $(C_6F_5C(O)NH)P(O)(NR^1R^2)_2$ و تهیه کمپلکس جدید $Fe(NO_3)_3(P(O)(NH(C_6H_{11}))_3).2CH_3COCH_3$ ، آنالیز آماری پارامترهای هندسه مولکول‌ها با استفاده از داده‌های ثبت شده در پایگاه ساختاری کمبریج

نگارش:

مهندز رستمی چایجان

استاد راهنما:

دکتر مهرداد پورایوبی

اساتید مشاور:

دکتر علیرضا سلیمی

دکتر محمد ایزدیار

چکیده

در این پژوهش ۱۰ ترکیب جدید از خانواده N-کربونیل فسفریکتری‌آمید با فرمول عمومی $C_8H_{17}N$, (۳) $C_7H_{15}N$, (۲) $C_4H_{10}N = Y$ (۱) یا $C_3H_{10}N_2 = Y_2$ و $C_6F_5 = X$) $[XC(O)NH]P(O)Y_2$ C_3H_7N , (۸) $C_{14}H_{15}N = Y$ و $4-NO_2-C_6H_4 = X$ یا (۷) C_4H_9NO و (۶) $C_{14}H_{15}N$, (۵) $C_8H_{11}N$, (۴) (۹) و (۱۰) C_7H_8N سنتز شد. علاوه بر این $(C_6H_{11}NH)_3PO$ به عنوان لیگاند دهنده اکسیژن در واکنش با کاتیون آهن (III) برای تهیه کمپلکس جدید $Fe(NO_3)_3(P(O)(NH(C_6H_{11}))_3.2CH_3COCH_3$ استفاده شد. ترکیبات تهیه شده در این پژوهش توسط بلورنگاری با پرتو ایکس، طیف سنجی‌های IR, 1HNMR و $^{19}FNMR$ مورد بررسی قرار گرفتند. نتایج به دست آمده از بررسی‌های طیفی و ساختاری از قرار زیر می‌باشد:

۱- برهمنکنیش‌های π ... π (P=O... π) برای نخستین بار بر روی N-کربونیل فسفریک تری‌آمیدهای شامل ساختارهای جدید و ساختارهای هم خانواده ثبت شده در پایگاه ساختاری کمبریج (CSD) مورد بررسی قرار گرفت. علاوه بر این جهت گیری گروه C=O نسبت به حلقه آромاتیک مورد بررسی قرار گرفت. هشت ساختار دارای برهمنکنیش π ... π بودند، جهت گیری گروه کربونیل در دو ساختار نسبت به حلقه آромاتیک مستقیم می‌باشد. اکسیژن گروه کربونیل در پنج ساختار دارای جهت گیری زاویه دار و در یک ساختار جهت گیری اکسیژن گروه کربونیل نسبت به حلقه آромاتیک مستقیم می‌باشد. پنجاه ساختار N-کربونیل فسفریک تری‌آمید دارای برهمنکنیش P=O... π می‌باشد. پیوندهای هیدروژنی در ترکیبات فسفریک تری‌آمید C—H...F, C=O...H—N, P=O...H—N های جدید مورد بحث و بررسی قرار گرفت. مقایسه پیوند هیدروژنی N—H...O=P در ساختارهای جدید و فسفریک تری‌آمید‌های هم خانواده دارای قطعه $C(O)NHP(O)$ در پایگاه داده‌های ساختاری کمبریج نشان داد که فاصله پیوندی O...N در ترکیبات ۳, ۴ و ۶ (محدوده ۲/۷۵ Å تا ۲/۷۰ Å) در ناحیه کوتاه-ترین فاصله O...N قرار دارد (حدود ۵٪ از کل داده‌ها). این مساله به اثر الکترونی ایجاد شده به وسیله گروه

الکترون کشنده C_6F_5 بر می گردد. این ویژگی الکترونی همچنین منجر به کاهش طول پیوند $C=O$ می شود. علاوه بر این اتم هیدروژن در $C_6F_5C(O)NHP(O)$ در مقایسه با ترکیبات همانواده شامل $C_6H_5C(O)NHP(O)$ دارای ویژگی اسیدی نسبتا بالا بوده و مناسب برای تشکیل پیوند هیدروژنی به نسبت قوی می باشد.

-۲- در ساختار بلوری ترکیب (۱)، گروه کربونیل در تشکیل پیوند هیدروژنی شرکت نکرده در حالی که گروه فسفریل به عنوان پذیرنده دوگانه پیوند هیدروژنی عمل می نماید. این امر منجر به الگوی پیوند هیدروژنی جدید، شامل موتفیفهای حلقوی R_3^2 (10)، که تاکنون در هیچ یک از فسفریکتری آمیدهای دارای $C(O)NHP(O)$ مشاهده نشده است.

-۳- زوایای پیوندی اتم نیتروژن در فسفریکتری آمیدهای $P(O)[NR^1R^2][NR^3R^4][NR^5R^6]$ بررسی و با فسفریکتری آمیدهای $RC(O)NHP(O)[NR^1R^2]_2$ مقایسه شد. بررسی نشان داد که اتم نیتروژن در گروه NR^nR^{n+1} در ترکیبات فسفریکتری آمید اول اتم نیتروژن تمایل بیشتری به محیط هرمی دارد.

-۴- ارتباط بین جابه جایی شیمیایی P^{31} و توانایی الکترون دهنده گروههای متصل به فسفر مورد مطالعه فرار گرفت.

کلمات کلیدی: برهمنش $C=O \dots \pi$ ، فسفریک تری آمید، الگوهای پیوند هیدروژنی، مطالعات طیف سنجی

فهرست مطالب

عنوان	صفحه
۱-۱- مقدمه	۲
۱-۲- ۱- کربونیل فسفریکتریآمید	۷
۱-۳- ترکیبات فسفر-فلز	۹
۱-۴- واکنش‌های پنتا کلرید فسفر	۱۰
۱-۵- روش‌های شناسایی فسفرآمیدها	۱۲
۱-۵-۱- طیف سنجی زیر قرمز	۱۲
۱-۵-۲- طیف سنجی رزونانس مغناطیسی هسته	۱۳
۱-۵-۳-۱- مکان شیمیایی ^{31}P در ^{31}P NMR	۱۳
۱-۵-۳-۲- ثابت‌های جفت شدن فسفر با هیدروژن و کربن	۱۴
۱-۵-۳-۳- ثابت جفت شدن فسفر-فسفر	۱۵
۱-۵-۴- ثابت جفت شدن فسفر-فلوئور	۱۵
۱-۵-۵- عوامل موثر در جابه‌جایی شیمیایی اتم فسفر	۱۶
۱-۶- مطالعات بلور نگاری	۱۷
۱-۷- آنالیز سطح هرشفیلد	۱۷
۱-۸- اهداف	۱۸
۱-۹- مواد مورد استفاده	۲۱
۱-۱۰- دستگاه‌های مورد استفاده	۲۲
۱-۱۱- تهییه مواد اولیه	۲۳
۱-۱۲- تهییه ترکیبات	۲۴
۱-۱۳- ۱-۴-۲- پنتا فلوئورو بنزا-امید	۲۴
۱-۱۴- ۲- ۴-۲- N- ۲- ۴- ۲- (N ¹ ,N ² ,N ³ ,N ⁴ ,N ⁵) پنتا فلوئورو بنزوئیل	۲۴
۱-۱۵- ۳- ۴- ۲- N- ۲- ۳- ۴- ۲- (N ¹ ,N ² ,N ³ ,N ⁴ ,N ⁵) پنتا فلوئورو بنزوئیل	۲۵

-N-4-4-2	-N,N" دی سیکلوهگزیل -N,N" دی اتیل فسفریک تری-	2،۳،۴،۵،۶ پنتا فلوئورو بنزوئیل)-	26.....	آمید (۴).....
-N-5-4-2	-N" دی بنزیل -N' دی متیل فسفریک تری آمید	2،۳،۴،۵،۶ پنتا فلوئورو بنزوئیل)-	27.....	(۵).....
-N-6-4-2	-N" ترا بنزیل فسفریک تری آمید (۶)	2،۳،۴،۵،۶ پنتا فلوئورو بنزوئیل)-	27.....
-N-7-4-2	-N" بیس (مورفولین) فسفریک تری آمید (۷)	2،۳،۴،۵،۶ پنتا فلوئورو بنزوئیل)-	28.....
-N-8-4-2	-N" ترا بنزیل فسفریک تری آمید (۸)	2،۳،۴،۵،۶ نیترو بنزوئیل)-	29.....
-N-9-4-2	-N" بیس (آلیل آمین) فسفریک تری آمید (۹)	2،۳،۴،۵،۶ نیترو بنزوئیل)-	29.....
-N-10-4-2	-N" بیس (۳-متیل بنزیل) فسفریک تری آمید (۱۰)	2،۳،۴،۵،۶ نیترو بنزوئیل)-	30.....
-N-11-4-2	(۱۱) [Fe(PO(NHC ₆ H ₁₁) ₃)(NO ₃) ₂]NO ₃ .2(C ₃ H ₆ O) تهیه ترکیب	30.....
60.....	بررسی طیفی ترکیبات فسفریک تری آمید.....	1-3
60.....	IR بررسی طیف	1-3
61.....	NMR طیف بررسی	2-1-3
61.....	1-2-1-3 دی آزا فسفرینان-2-اکسید ۲،۳،۴،۵،۶ پنتا فلوئورو بنزآمید-۱،۳،۲-۱-۲-۱-۳
62.....	-N-2-2-1-3 دی فسفریک تری آمید (۲) ۲،۳،۴،۵،۶ پنتا فلوئورو بنزوئیل)-N' بیس (t-بوتیل) فسفریک تری آمید (۲)
63.....	-N-3-2-1-3 دی سیکلوهگزیل -N" دی متیل فسفریک-تری آمید (۳) ۲،۳،۴،۵،۶ پنتا فلوئورو بنزوئیل)-
65.....	-N-4-2-1-3 دی اتیل فسفریک-تری آمید (۴) ۲،۳،۴،۵،۶ پنتا فلوئورو بنزوئیل)-N" دی سیکلوهگزیل -N' دی فسفریک-تری آمید
65.....	-N-5-2-1-3 دی متیل فسفریک تری آمید (۵) ۲،۳،۴،۵،۶ پنتا فلوئورو بنزوئیل)-N" دی بنزیل -N' دی فسفریک تری آمید
66.....	-N-6-2-1-3 دی فسفریک تری آمید (۶) ۲،۳،۴،۵،۶ پنتا فلوئورو بنزوئیل)-N" ترا بنزیل فسفریک تری آمید
67.....	-N-7-2-1-3 دی فسفریک تری آمید (۷) ۲،۳،۴،۵،۶ پنتا فلوئورو بنزوئیل)-N" بیس (مورفولین) فسفریک تری آمید
68.....	-N-8-2-1-3 دی فسفریک تری آمید (۱۰) ۲،۳،۴،۵،۶ نیترو بنزوئیل)-N" بیس (۳-متیل فنیل) فسفریک تری آمید
71.....	4-1- ساختار بلوری ترکیب‌های تهیه شده ۲،۳،۴،۵،۶ پنتا فلوئورو بنزآمید-۱،۳،۲-۱-۲-۱-۳ دی آزا فسفرینان-2-اکسید (۱)
71.....	4-1- ساختار بلوری ۲،۳،۴،۵،۶ پنتا فلوئورو بنزآمید-۱،۳،۲-۱-۲-۱-۳ دی آزا فسفرینان-2-اکسید (۱)

فهرست

۴-۱-۲- بررسی ساختار بلوری $N-t$ -بیس (N ^t -بنزوئیل) فسفریک تری آمید (۲)	۷۳
۴-۱-۳- بررسی ساختار بلوری N -پنتا فلوئورو بنزوئیل (N ⁵ -دی سیکلوهگزیل)	۷۶
۴-۱-۴- بررسی ساختار بلوری N -پنتا فلوئورو بنزوئیل (N ⁵ -دی سیکلوهگزیل-ن'-دی اتیل)	۷۸
۴-۱-۵- بررسی ساختار بلوری N -پنتا فلوئورو بنزوئیل (N ⁵ -دی بنزیل-ن'-دی متیل)	۸۲
۴-۱-۶- بررسی ساختار بلوری N -پنتا فلوئورو بنزوئیل (N ⁵ -تترا بنزیل فسفریک-تری آمید (۶))	۸۵
۴-۱-۷- فسفریک تری آمید (۷)	۸۷
۴-۱-۸- بررسی ساختار بلوری ترکیب N -نیترو بنزوئیل (N ⁴ -نیترو بنزوئیل)	۹۰
۴-۱-۹- بررسی ساختار بلوری N -نیترو بنزوئیل (N ⁴ -نیترو بنزوئیل) بیس (آلیل) فسفریک تری آمید (۹)	۹۲
۴-۱-۱۰- بررسی ساختار بلوری ترکیب N -نیترو بنزوئیل (N ⁴ -نیترو بنزوئیل) بیس (۳-متیل فنیل) فسفریک تری آمید (۱۰)	۹۵
۴-۱-۱۱- بررسی ساختار بلوری $[Fe(PO(NHC_6H_{11}))_3(NO_3)_2]NO_3.(C_3H_6O)_2$	۹۸
۴-۱-۱۲- بررسی برهمکنش‌های غیرکووالانس در ترکیب‌های فسفریک تری آمید	۱۰۲
۴-۱-۱۳- بررسی طول پیوند C=O در ترکیبات فسفریک تری آمید با ساختار $RC(O)NMP(O)[NR^1R^2]$	۱۰۴
۴-۱-۱۴- بررسی هندسه‌ی اتم نیتروژن در ترکیب‌های با قطعه $[N]_3PO$	۱۰۶
۴-۱-۱۵- بررسی طیف‌های $^{31}PNMR$	۱۰۸
References	۱۱۴

فهرست شکل‌ها

صفحه

عنوان

۲۳	شکل ۲-۱: شمای واکنش تهیه ترکیباتی از خانواده کربونیل آمیدو فسفات‌ها
۳۱	شکل ۲-۲: فرمول گسترده ترکیب $C_6F_5C(O)NHP(O)(NH)_2C_3H_6$
۳۲	شکل ۲-۳: طیف IR ترکیب $C_6F_5C(O)NHP(O)(NH)_2C_3H_6$
۳۲	شکل ۲-۴: طیف ^{31}P NMR ترکیب $C_6F_5C(O)NHP(O)(NH)_2C_3H_6$
۳۳	شکل ۲-۵: طیف 1H NMR ترکیب $C_6F_5C(O)NHP(O)(NH)_2C_3H_6$
۳۳	شکل ۲-۶: طیف ^{13}C NMR ترکیب $C_6F_5C(O)NHP(O)(NH)_2C_3H_6$
۳۴	شکل ۲-۷: طیف ^{19}F NMR ترکیب $C_6F_5C(O)NHP(O)(NH)_2C_3H_6$
۳۴	شکل ۲-۸: فرمول گسترده ترکیب $C_6F_5C(O)NHP(O)(NHC(CH_3)_3)_2$
۳۵	شکل ۲-۹: طیف IR ترکیب $C_6F_5C(O)NHP(O)(NHC(CH_3)_3)_2$
۳۵	شکل ۲-۱۰: طیف ^{31}P NMR ترکیب $C_6F_5C(O)NHP(O)(NHC(CH_3)_3)_2$
۳۶	شکل ۲-۱۱: طیف 1H NMR ترکیب $C_6F_5C(O)NHP(O)(NHC(CH_3)_3)_2$
۳۶	شکل ۲-۱۲: طیف ^{13}C NMR ترکیب $C_6F_5C(O)NHP(O)(NHC(CH_3)_3)_2$
۳۷	شکل ۲-۱۳: طیف ^{19}F NMR ترکیب $C_6F_5C(O)NHP(O)(NHC(CH_3)_3)_2$
۳۷	شکل ۲-۱۴: فرمول گسترده ترکیب $C_6F_5C(O)NHP(O)(N(CH_3)(C_6H_{11}))_2$
۳۸	شکل ۲-۱۵: طیف IR ترکیب $C_6F_5C(O)NHP(O)(N(CH_3)(C_6H_{11}))_2$
۳۸	شکل ۲-۱۶: طیف ^{31}P NMR ترکیب $C_6F_5C(O)NHP(O)(N(CH_3)(C_6H_{11}))_2$
۳۹	شکل ۲-۱۷: طیف 1H NMR ترکیب $C_6F_5C(O)NHP(O)(N(CH_3)(C_6H_{11}))_2$
۳۹	شکل ۲-۱۸: طیف ^{13}C NMR ترکیب $C_6F_5C(O)NHP(O)(N(CH_3)(C_6H_{11}))_2$
۴۰	شکل ۲-۱۹: طیف ^{19}F NMR ترکیب $C_6F_5C(O)NHP(O)(N(CH_3)(C_6H_{11}))_2$
۴۰	شکل ۲-۲۰: فرمول گسترده ترکیب $C_6F_5C(O)NHP(O)(N(C_2H_5)(C_6H_{11}))_2$
۴۱	شکل ۲-۲۱: طیف IR ترکیب $C_6F_5C(O)NHP(O)(N(C_2H_5)(C_6H_{11}))_2$
۴۱	شکل ۲-۲۲: طیف 1H NMR ترکیب $C_6F_5C(O)NHP(O)(N(C_2H_5)(C_6H_{11}))_2$
۴۲	شکل ۲-۲۳: طیف $^{13}CNMR$ ترکیب $C_6F_5C(O)NHP(O)(N(C_2H_5)(C_6H_{11}))_2$
۴۲	شکل ۲-۲۴: طیف $^{19}FNMR$ ترکیب $C_6F_5C(O)NHP(O)(N(C_2H_5)(C_6H_{11}))_2$
۴۳	شکل ۲-۲۵: طیف $^{31}PNMR$ ترکیب $C_6F_5C(O)NHP(O)(N(C_2H_5)(C_6H_{11}))_2$
۴۳	شکل ۲-۲۶: فرمول گسترده ترکیب $C_6F_5C(O)NHP(O)(N(CH_3)(CH_2C_6H_5))_2$
۴۴	شکل ۲-۲۷: طیف IR ترکیب $C_6F_5C(O)NHP(O)(N(CH_3)(CH_2C_6H_5))_2$

- شکل ۲-۲۸: طیف ^{31}P NMR ترکیب $\text{C}_6\text{F}_5\text{C}(\text{O})\text{NHP}(\text{O})(\text{N}(\text{CH}_3)(\text{CH}_2\text{C}_6\text{H}_5))_2$
- شکل ۲-۲۹: طیف ^1H NMR ترکیب $\text{C}_6\text{F}_5\text{C}(\text{O})\text{NHP}(\text{O})(\text{N}(\text{CH}_3)(\text{CH}_2\text{C}_6\text{H}_5))_2$
- شکل ۲-۳۰: طیف ^{13}C NMR ترکیب $\text{C}_6\text{F}_5\text{C}(\text{O})\text{NHP}(\text{O})(\text{N}(\text{CH}_3)(\text{CH}_2\text{C}_6\text{H}_5))_2$
- شکل ۲-۳۱: طیف ^{19}F NMR ترکیب $\text{C}_6\text{F}_5\text{C}(\text{O})\text{NHP}(\text{O})(\text{N}(\text{CH}_3)(\text{CH}_2\text{C}_6\text{H}_5))_2$
- شکل ۲-۳۲: فرمول گسترده ترکیب $\text{C}_6\text{F}_5\text{C}(\text{O})\text{NHP}(\text{O})[\text{N}(\text{CH}_2\text{C}_6\text{H}_5)_2]_2$
- شکل ۲-۳۳: طیف IR ترکیب $\text{C}_6\text{F}_5\text{C}(\text{O})\text{NHP}(\text{O})[\text{N}(\text{CH}_2\text{C}_6\text{H}_5)_2]_2$
- شکل ۲-۳۴: طیف ^{31}P NMR ترکیب $\text{C}_6\text{F}_5\text{C}(\text{O})\text{NHP}(\text{O})[\text{N}(\text{CH}_2\text{C}_6\text{H}_5)_2]_2$
- شکل ۲-۳۵: طیف ^1H NMR ترکیب $\text{C}_6\text{F}_5\text{C}(\text{O})\text{NHP}(\text{O})[\text{N}(\text{CH}_2\text{C}_6\text{H}_5)_2]_2$
- شکل ۲-۳۶: طیف ^{13}C NMR ترکیب $\text{C}_6\text{F}_5\text{C}(\text{O})\text{NHP}(\text{O})[\text{N}(\text{CH}_2\text{C}_6\text{H}_5)_2]_2$
- شکل ۲-۳۷: طیف ^{19}F NMR ترکیب $\text{C}_6\text{F}_5\text{C}(\text{O})\text{NHP}(\text{O})[\text{N}(\text{CH}_2\text{C}_6\text{H}_5)_2]_2$
- شکل ۲-۳۸: فرمول گسترده ترکیب $\text{C}_6\text{F}_5\text{C}(\text{O})\text{NHP}(\text{O})(\text{NC}_4\text{H}_8\text{O})_2$
- شکل ۲-۳۹: طیف IR ترکیب $\text{C}_6\text{F}_5\text{C}(\text{O})\text{NHP}(\text{O})(\text{NC}_4\text{H}_8\text{O})_2$
- شکل ۲-۴۰: طیف ^{31}P NMR ترکیب $\text{C}_6\text{F}_5\text{C}(\text{O})\text{NHP}(\text{O})(\text{NC}_4\text{H}_8\text{O})_2$
- شکل ۲-۴۱: طیف ^1H NMR ترکیب $\text{C}_6\text{F}_5\text{C}(\text{O})\text{NHP}(\text{O})(\text{NC}_4\text{H}_8\text{O})_2$
- شکل ۲-۴۲: طیف ^{13}C NMR ترکیب $\text{C}_6\text{F}_5\text{C}(\text{O})\text{NHP}(\text{O})(\text{NC}_4\text{H}_8\text{O})_2$
- شکل ۲-۴۳: طیف ^{19}F NMR ترکیب $\text{C}_6\text{F}_5\text{C}(\text{O})\text{NHP}(\text{O})(\text{NC}_4\text{H}_8\text{O})_2$
- شکل ۲-۴۴: فرمول گسترده ترکیب $4\text{-NO}_2\text{C}_6\text{H}_4\text{C}(\text{O})\text{NHP}(\text{O})(\text{N}(\text{CH}_2\text{C}_6\text{H}_5)_2)_2$
- شکل ۲-۴۵: طیف IR ترکیب $4\text{-NO}_2\text{C}_6\text{H}_4\text{C}(\text{O})\text{NHP}(\text{O})(\text{N}(\text{CH}_2\text{C}_6\text{H}_5)_2)_2$
- شکل ۲-۴۶: فرمول گسترده ترکیب $4\text{-NO}_2\text{C}_6\text{H}_4\text{C}(\text{O})\text{NHP}(\text{O})(\text{NHCH}_2\text{CHCH}_2)_2$
- شکل ۲-۴۷: طیف IR ترکیب $4\text{-NO}_2\text{C}_6\text{H}_4\text{C}(\text{O})\text{NHP}(\text{O})(\text{NHCH}_2\text{CHCH}_2)_2$
- شکل ۲-۴۸: فرمول گسترده ترکیب $4\text{-NO}_2\text{C}_6\text{H}_4\text{C}(\text{O})\text{NHP}(\text{O})(\text{NHC}_6\text{H}_4\text{-3-CH}_3)_2$
- شکل ۲-۴۹: طیف IR ترکیب $4\text{-NO}_2\text{C}_6\text{H}_4\text{C}(\text{O})\text{NHP}(\text{O})(\text{NHC}_6\text{H}_4\text{-3-CH}_3)_2$
- شکل ۲-۵۰: طیف $^{31}\text{P}\{\text{H}\}$ NMR ترکیب $4\text{-NO}_2\text{C}_6\text{H}_4\text{C}(\text{O})\text{NHP}(\text{O})(\text{NHC}_6\text{H}_4\text{-3-CH}_3)_2$
- شکل ۲-۵۱: طیف ^{31}P NMR ترکیب $4\text{-NO}_2\text{C}_6\text{H}_4\text{C}(\text{O})\text{NHP}(\text{O})(\text{NHC}_6\text{H}_4\text{-3-CH}_3)_2$
- شکل ۲-۵۲: طیف ^1H NMR ترکیب $4\text{-NO}_2\text{C}_6\text{H}_4\text{C}(\text{O})\text{NHP}(\text{O})(\text{NHC}_6\text{H}_4\text{-3-CH}_3)_2$
- شکل ۲-۵۳: طیف ^{13}C NMR ترکیب $4\text{-NO}_2\text{C}_6\text{H}_4\text{C}(\text{O})\text{NHP}(\text{O})(\text{NHC}_6\text{H}_4\text{-3-CH}_3)_2$
- شکل ۲-۵۴: فرمول گسترده ترکیب $[\text{Fe}(\text{PO}(\text{NHC}_6\text{H}_{11})_3)_3(\text{NO}_3)_2]\text{NO}_3\cdot 2(\text{C}_3\text{H}_6\text{O})$
- شکل ۲-۵۵: طیف IR ترکیب $[\text{Fe}(\text{PO}(\text{NHC}_6\text{H}_{11})_3)_3(\text{NO}_3)_2]\text{NO}_3\cdot 2(\text{C}_3\text{H}_6\text{O})$
- شکل ۳-۱: طیف ^{19}F NMR ترکیب ۳. مقایسه پهنهای پیک علامت یکتایی با علامتهای سه تایی (تصویر سمت راست) و علامت دو تایی (تصویر سمت چپ).
۶۴

شکل ۳-۲: مقایسه پهنانی پیک علامت یکتاپی در ترکیب ۷ با علامتهای سه تایی و دو تایی ۶۸
شکل ۴-۱: شمای ORTEP ساختار ملکولی ترکیب ۱ ۷۲
شکل ۴-۲: نمایش انباستگی مولکولهای ترکیب ۱ در سلول واحد در راستای محور b ۷۲
شکل ۴-۳: شمایی از انباستگی بلوری ایجاد شده توسط پیوندهای هیدروژنی بین ملکولی ۷۳
شکل ۴-۴: شمای ORTEP ساختار ملکولی ترکیب ۲ ۷۴
شکل ۴-۵: شمایی از انباستگی بلوری ایجاد شده به وسیله پیوندهای هیدروژنی ۷۵
شکل ۴-۶: شمایی از برهمکنش $\text{P}=\text{O}\dots\pi$ در ساختار بلوری ترکیب ۲ ۷۵
شکل ۴-۷: شمای ORTEP ترکیب ۳ ۷۷
شکل ۴-۸: شمایی از دیمر در ساختار بلوری ترکیب ۳ حاصل از پیوند هیدروژنی ۷۷
شکل ۴-۹: شمایی از تجمع دیمرها از طریق برهمکنش $\text{C}=\text{O}\dots\pi$ موازی محور b ۷۸
شکل ۴-۱۰: شمای ORTEP ترکیب ۴ ۸۰
شکل ۴-۱۱: شمایی از دیمر در ساختار بلوری ترکیب ۴ ایجاد شده پیوند هیدروژنی ۸۰
شکل ۴-۱۲: شمایی از انباستگی بلوری ایجاد شده توسط پیوندهای هیدروژنی بین ملکولی F—H—F ۸۱
شکل ۴-۱۳: اتصال دیمرها از طریق برهمکنش $\text{C}=\text{O}\dots\pi$ موازی محور c در ساختار بلوری ترکیب ۴ ۸۱
شکل ۴-۱۴: شمای ORTEP ترکیب ۵ ۸۳
شکل ۴-۱۵: شمایی از دیمر در ساختار بلوری ترکیب ۵ حاصل از پیوند هیدروژنی $\text{P}=\text{O}\dots\pi$ و $\text{N}_{\text{C}(\text{O})\text{NHP}(\text{O})}\text{—H}\dots\text{O}=\text{P}$ ۸۳
شکل ۴-۱۶: نمایش قسمتی از انباستگی ساختار بلوری ترکیب ۵ موازی صفحه bc ۸۴
شکل ۴-۱۷: شمایی از تجمع دیمرها موازی محور b از طریق برهمکنش $\text{C}=\text{O}\dots\pi$ ۸۴
شکل ۴-۱۸: شمای ORTEP ترکیب ۶ ۸۶
شکل ۴-۱۹: اتصال ملکولها در ساختار بلوری ترکیب ۶ از طریق پیوند هیدروژنی $\text{N}_{\text{CP}}\text{—H}\dots\text{O}=\text{P}$ ۸۶
شکل ۴-۲۰: شمایی از برهمکنشهای $\text{C}=\text{O}\dots\pi$ در شبکه بلوری ترکیب ۶ و ایجاد شبکه پیوند هیدروژنی دو بعدی موازی صفحه ab ۸۷
شکل ۴-۲۱: شمای ORTEP ترکیب ۷ ۸۸
شکل ۴-۲۲: شمایی از تشکیل دیمر با مرکز تقارن از طریق پیوند هیدروژنی $\text{N}_{\text{CP}}\text{—H}\dots\text{O}=\text{P}$ و تشکیل متوفی حلقوی $R_2^2(8)$ ۸۹
شکل ۴-۲۳: شمایی از انباستگی ملکولها در ساختار بلوری ترکیب ۷ از طریق برهمکنشهای F—H—F (علامت C—H—O) (علامت a) ۸۹
شکل ۴-۲۴: شمایی از اتصال دیمرها از طریق پیوند هیدروژنی F—H—F (علامت a) و پیوند هیدروژنی —C—H—O (علامت b) ۹۰

شکل ۴-۲۵: شمای ORTEP ترکیب ۸.	۹۱
شکل ۴-۲۶: شمایی از دیمر ایجاد شده توسط پیوندهای هیدروژنی $\text{N}_{\text{CP}}-\text{H}\cdots\text{O}=\text{P}$ و $\text{C}-\text{H}\cdots\text{O}=\text{P}$ در ساختار ملکولی ترکیب ۸.	۹۱
شکل ۴-۲۷: شمایی از انباستگی بلوری ایجاد شده توسط پیوندهای هیدروژنی $\text{C}-\text{H}\cdots\text{O}=\text{P}$, $\text{N}-\text{H}\cdots\text{O}=\text{C}$ و برهمکنشهای $\pi-\text{C}-\text{H}\cdots\text{O}=\text{P}$ در ساختار ترکیب ۸.	۹۲
شکل ۴-۲۸: شمای ORTEP ترکیب ۹.	۹۳
شکل ۴-۲۹: نمایش قسمتی از انباستگی ساختار بلوری ترکیب ۹ موازی با محور c .	۹۴
شکل ۴-۳۰: نمایش قسمتی از انباستگی ساختار بلوری ترکیب ۹ موازی با صفحه $.bc$.	۹۵
شکل ۴-۳۱: شمای ORTEP ترکیب ۱۰.	۹۶
شکل ۴-۳۲: نمایش قسمتی از انباستگی ساختار بلوری ترکیب ۱۰ در راستای محور b و زنجیرهای یک بعدی حاصل از پیوند هیدروژنی $\text{N}_{\text{CP}}-\text{H}\cdots\text{O}=\text{P}$ (علامت a) و $\text{N}-\text{H}\cdots\text{O}=\text{C}$ (علامت b).	۹۷
شکل ۴-۳۳: نمایش قسمتی از انباستگی ساختار بلوری ترکیب ۱۰ موازی محور ab و از طریق برهمکنشهای پیوند هیدروژنی $\text{C}-\text{H}\cdots\text{O}=\text{P}$ (علامت a) و $\text{C}-\text{H}\cdots\text{O}=\text{C}$ (علامت b) و برهمکنشهای $\pi-\text{C}-\text{H}\cdots\text{O}=\text{P}$ (علامت c).	۹۸
شکل ۴-۳۴: شمای بیضوی گرمایی ترکیب ۱۲.	۹۹
شکل ۴-۳۵: شمایی از انباستگی دو بعدی شبکه پیوند هیدروژنی ترکیب ۱۲ موازی با محور b .	۱۰۰
شکل ۵-۱: پارامترهای مختلف برای اندازه گیری برهمکنش $\pi-\text{C}=\text{O}\cdots\text{O}$. M مرکز حلقه آروماتیک و D فاصله اکسیژن گروه کربونیل تا مرکز حلقه.	۱۰۳
شکل ۵-۲: هیستوگرام از طول پیوندی $\text{C}=\text{O}$ در ترکیب‌های فسفرآمید با اسکلت $\text{C}(\text{O})\text{NHP}(\text{O})[\text{NR}^1\text{R}^2]_2$	۱۰۵
شکل ۵-۳: مجموع زاویه‌های اطراف اتم نیتروژن در ترکیب‌های دارای اسکلت $[\text{R}^1\text{R}^2\text{N}] \text{P}(\text{O})[\text{NR}^3\text{R}^4][\text{NR}^5\text{R}^6]$ (منحنی آئی رنگ) و ترکیبات دارای فرمول $\text{RC}(\text{O})\text{NHP}(\text{O})[\text{NR}^1\text{R}^2]$ (منحنی قرمز رنگ).	۱۰۸
شکل ۵-۴: سطوح هیرشفلد ایجاد شده با فاصله d_{norm} برای ترکیب ۱ نشان داده شده در دو جهت مختلف.	۱۱۱
شکل ۵-۵: نمودار دو بعدی اثر انگشت برای ترکیب ۱.	۱۱۲

فهرست جدول‌ها

عنوان	صفحه
جدول ۱ - ۲: جابه‌جایی‌های شیمیایی و ثابت‌های جفت شدن برخی از سموم ارگانوفسفر عصبی.....	۱۶
جدول ۲ - ۱: مواد مورد استفاده در این پژوهش.....	۲۱
جدول ۲ - ۲: دستگاه‌های مورد استفاده	۲۲
جدول ۳ - ۱: اعداد موجی مربوط به نوارهای جذبی ارتعاشات O, C=O، P=O و N—HN—H	۶۰
جدول ۵ - ۱: پارامترهای D و ω در برهمکنش $[C][N]C=O \dots \pi$ در ترکیبات فسفریک تری آمید با ساختار $RC(O)NHP(O)[NR^1R^2]_2$	۱۰۴
جدول ۵ - ۲: جابه‌جایی شیمیایی $^{31}PNMR$ برای ترکیب‌های سنتز شده.....	۱۰۹

فصل اول

مقدمہ

۱-۱- مقدمه

ترکیب‌هایی را که از واکنش فسفریل‌کلرید با یک آمین به دست می‌آید، "فسفرآمید"^۱ می‌نامند [۱].

شیمی فسفرآمیدها به دلیل کاربرد گسترده‌ی آن در فرآیندهای بیولوژیکی، توجهی بسیار زیادی را به

خود جلب کرده است. این خانواده از ترکیب‌ها، حداقل با یک گروه دارای R^2 و $R^1R^2P-NR^1$ ^۲

آلکیل، آریل یا هیدروژن) شناخته می‌شوند. فسفرآمیدها، کاربردهای فراوانی از جمله حشره‌کش^۳

[۹،۱۰]، علف‌کش^۴ [۴]، ضدآنتش^۵ [۵]، داروهای ضد‌سرطان^{۶-۸} [۸]، ضدویروس‌ایdz^۹ [۹،۱۰]

بازدارنده‌ی ویروس هپاتیت C^۷ [۱۱-۱۲] و عامل‌های ضدمالاریا^۸ [۱۲] از خود نشان می‌دهند. هم

چنین این ترکیب‌ها به عنوان لیگاندهای اکسیژن دهنده^۹ در تهیه‌ی کمپلکس‌های عنصرهای اصلی [۱۴،۱۵]، عنصر-

های واسطه [۱۶،۱۷] و لانتانیدها و آکنیدها [۱۸،۲۱] استفاده می‌شوند. فسفرآمیدها از مهم‌ترین این ترکیب‌ها متعلق

به خانواده‌ی فسفازان‌ها به شمار می‌روند که دارای پیوند یگانه‌ی فسفر - نیتروژن هستند.

فسفر آمیدها شامل پنج زیر گروه هستند:

۱- فسفریک تری آمیدها

^۱ Phosphoramido

^۲ Insecticide

^۳ Herbicide

^۴ Fire proof

^۵ Anticancer drugs

^۶ Anti-retroviral

^۷Inhibitors of hepatitis C virus

^۸ Antimalarial agent

^۹ O-donor

۱- فسفریک دی آمیدها

۲- سیکلو فسفرآمیدها

۳- فسفرآمیدیک اسید استرها

۴- بیس فسفرآمیدها

فسفریکتریآمیدها با فرمول عمومی $P(O)[NR^1R^2][NR^3R^4][NR^5R^6]$ زیرمجموعه‌ای از ترکیب‌های

فسفرآمید می‌باشند. با جایگزینی یک گروه NR^1R^2 با یک گروه $RC(O)NH$ در فسفریکتریآمیدها

ترکیب‌های جدیدی از خانواده فسفرآمید به نام N - کربونیل‌فسفریکتریآمید با فرمول

$RC(O)NHP(O)[NR^1R^2]_2$ به دست می‌آید. تا کنون، ترکیب‌های فراوانی از این خانواده از ترکیب‌ها با

گروه‌های متفاوت R در پایگاه ساختاری کمبریج به ثبت رسیده است. جدول ۱-۱ تفراوانی و نوع گروه R را

در ترکیب‌های فسفریکتریآمید ثبت شده در پایگاه ساختاری کمبریج^۱ (CSD) نشان می‌دهد.

^۱ Cambridge Structural Database

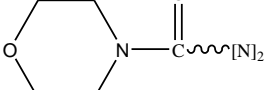
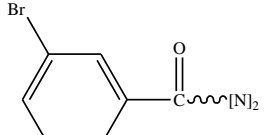
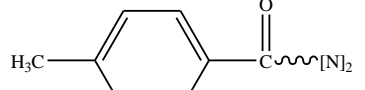
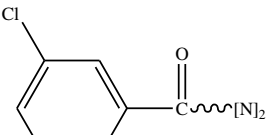
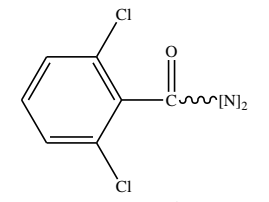
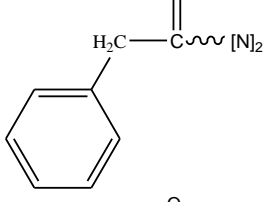
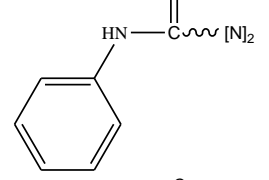
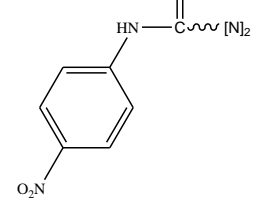
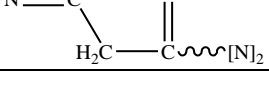
جدول ۱-۱. تعداد و نوع گروه R در ترکیبات فسفریک تری آمید با ساختار کلی $R-C(O)NH(O)[N]_2$

No	R	Number of CIFs in CSD
1		15
2		9
3		5
4		20
5		12
6		2
7		20
8		8
9		5
10		7
11		5

ادامه جدول ۱-۱

No	R	Number of CIFs in CSD
15		1
16		7
17		2
18		1
19		3
20		2
21		1
13		3
14		6

ادامه جدول ۱-۱

No	R	Number of CIFs in CSD
22		1
23		1
24		2
25		1
26		3
27		1
28		1
29		1
30		2

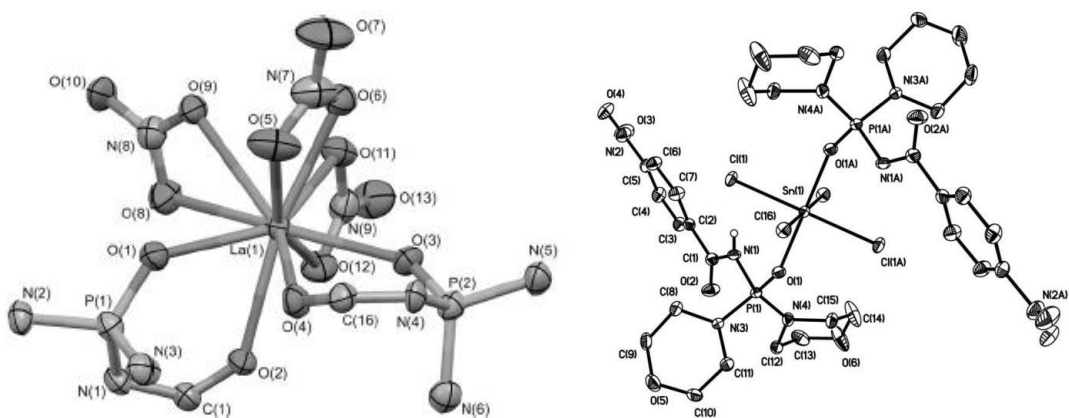
در این پژوهش ساختار بلوری-ملکولی ترکیب‌های جدیدی از خانواده فسفویریک‌تری‌آمیدها با فرمول

$(C_6F_5 = R)$ $RC(O)NHP(O)[NR^1R^2]_2$ مورد بررسی موشکافانه قرار خواهد گرفت. تا کنون هیچ‌گونه

ترکیبی از این خانواده از ترکیب‌ها متشکل از گروه‌های ارائه شده در جدول ۱-۱ در پایگاه ساختاری کمبریج ثبت نشده است.

۲-۱- کربونیل فسفریک تری‌آمید

فسفریک تری‌آمیدهای $\text{RC(O)NHP(O)[NR}^1\text{R}^2\text{]}_2$ به دلیل دارا بودن همزمان گروه‌های C=O و P=O در یک مولکول می‌توانند هم به عنوان لیگاند تک دندانه (از طریق گروه P=O) و هم به عنوان لیگاند دو دندانه (از طریق گروه C=O و P=O) در واکنش‌های تشکیل کمپلکس با فلزهای عنصرهای اصلی، واسطه، واسطه لantanیدها و آکتنیدها مورد استفاده قرار گیرند (شکل ۱-۱). وجود گروه کربونیل در ساختار این ترکیب‌ها و در نتیجه‌ی رزونانس زوج الکترون اتم نیتروژن قطعه‌ی C(O)NHP(O) با آن، باعث ایجاد تفاوت‌هایی در برخی ویژگی‌های ساختاری این خانواده از ترکیب‌ها نسبت به فسفریک تری‌آمیدها با فرمول کلی $\text{P(O)[NR}^1\text{R}^2\text{][NR}^3\text{R}^4\text{][NR}^5\text{R}^6\text{]}$ می‌شود که از آن جمله می‌توان به کاهش الکترون دهنگی اتم نیتروژن (N_{CP}) به اتم فسفر و بلندتر شدن طول پیوند P-N_{CP} نسبت به طول پیوندهای N-P (پیوند فسفر با اتم‌های نیتروژن قطعه $\text{R}^1 \neq \text{H}$, $\text{R}^2 = \text{H}$ or $\neq \text{H}$) $\text{P(O)(NR}^1\text{R}^2\text{)}$ افزایش ویژگی اسیدی اتم هیدروژن در H-N_{CP} و به دنبال آن افزایش قدرت پیوند هیدروژنی آن با گروه فسفریل در پیوندهای هیدروژنی $\text{H-O-C(=O)NHP(O)-N}_{\text{CP}}-\text{H}$ و نیز، وجود پیوندهای هیدروژنی جدید O=C...O-H در شبکه‌ی بلوری این ترکیب‌ها اشاره نمود که الگوی پیوند هیدروژنی متفاوت‌تری را نسبت به فسفریک تری‌آمیدها تشکیل می‌دهند.



شکل ۱-۱. ترکیب‌های کمپلکسی تشکیل شده از $\text{N}-\text{کربونیل}$ فسفریک تری آمیدها به عنوان لیگاند یک دندانه (اتصال از طریق $\text{P}=\text{O}$ ، تصویر سمت چپ) و لیگاند دو دندانه (اتصال از طریق $\text{C}=\text{O}$ ، $\text{P}=\text{O}$ و $\text{O}=\text{P}$ ، تصویر سمت راست).

هم چنین با توجه به موارد گفته شده، وجود گروه کربونیل می‌تواند باعث تغییر در هندسه و زوایه‌های اطراف اتم نیتروژن در قطعه‌ی NR^1R^2 در ترکیب‌های دارای اسکلت $\text{C}(\text{O})\text{NHP}(\text{O})[\text{NR}^1\text{R}^2]_2$ نسبت به ساختارهای $\text{P}(\text{O})[\text{NR}^1\text{R}^2][\text{NR}^3\text{R}^4][\text{NR}^5\text{R}^6]$ شود. در این پژوهش، هم چنین به بررسی زوایه‌ها و هندسه اطراف اتم نیتروژن در فسفریک تری آمیدها با فرمول عمومی $\text{P}(\text{O})[\text{NR}^1\text{R}^2][\text{NR}^3\text{R}^4][\text{NR}^5\text{R}^6]$ در مقایسه فسفریک تری آمیدها $\text{RC}(\text{O})\text{NHP}(\text{O})[\text{NR}^1\text{R}^2]_2$ پرداخته می‌شود.

فسفریک تری آمیدها [RC(O)—NH—]_3 از واکنش پیش ماده‌های $\text{RC(O)NHP(O)[NR}^1\text{R}^2\text{]}_2$

$\text{P}(\text{O})\text{Cl}_5$ با آمین‌های مختلف (از واکنش RC(O)NH_2 و سپس واکنش با فرمیک اسید

$\text{P}(\text{O})\text{Cl}_2$ تهیه می‌شوند. بر اساس اطلاعات به دست آمده از پایگاه

ساختاری کمبریج تاکنون ساختارهای بسیاری از این خانواده با استخلاف‌های متنوع آلکیلی و آریلی متصل

به گروه کربونیل، گزارش شده‌اند [۲۴].

۱-۳- ترکیبات فسفر - فلز

نخستین پژوهش‌ها در زمینه شیمی کوئوردیناسیون فسفرآمیدهای دلیل تمایلگردها فسفریل به لانتانوئیدها و

آکتنیده، روی این کاتیون‌های فلزی انجام شده است [۲۵]. امروزه کمپلکس‌های فسفریل - لانتانید به خاطر

اهمیت در علم بیولوژیکی [۲۶، ۲۷] و سیستم‌های لومینسانس [۲۸، ۲۹] مورد توجه بسیاری از شیمی‌دان‌ها

قرار گرفته است.

فسفریک‌تری‌آمیدها با فرمول عمومی $P(O)[NR^1R^2][NR^3R^4][NR^5R^6]$ به عنوان لیگاندهای اکسیژن

دهنده در واکنش با فلزهای عناصرهای اصلی و عناصر واسطه مورد استفاده قرار می‌گیرند. بر اساس بررسی-

$P(O)[N(CH_3)_2]$ های انجام شده در پایگاه اطلاع رسانی کمبریج تا کنون ترکیب‌های فسفریک‌تری‌آمید

$P(O)[NH(C_6H_{11})_3]$ ، $P(O)(NC_4H_8)_3$ ، $P(O)[NHCH_2(C_6H_5)]_3$ ، $P(O)[NHC(CH_3)_3]$ به عنوان

لیگاند اکسیژن دهنده در واکنش با فلزهای اصلی (Mg، Ba و Sn)، فلزهای واسطه (Co، Cu، Mo و Hg) و

هم چنین لانتانوئیدها (Sm، Eu و Nd) مورد استفاده قرار گرفته است. در این پژوهش، کمپلکس آهن هفت

کوئوردینه با لیگاند $P(O)[NH(C_6H_{11})_3]$ تهیه و تعیین ساختار شد که دومین مثال از کمپلکس آهن با

لیگاند فسفریک‌تری‌آمید به شمار می‌رود.